

العنوان:	خواص الأفلام الإشعاعية المستخدمة في التسخيص الطبي و توكيد الجودة لبعض أجهزة الأشعة السينية
المؤلف الرئيسي:	عامر، عبد الرحمن آدم أحمد
مؤلفين آخرين:	الكناني، عذاب طاهر، تويج، ضياء عبد علي(مشرف)
التاريخ الميلادي:	2005
موقع:	بغداد
الصفحات:	1 - 91
رقم MD:	557923
نوع المحتوى:	رسائل جامعية
اللغة:	Arabic
الدرجة العلمية:	رسالة ماجستير
الجامعة:	جامعة بغداد
الكلية:	كلية التربية ( ابن الهيثم )
الدولة:	العراق
قواعد المعلومات:	Dissertations
مواضيع:	الفحوصات الطبية ، أجهزة الأشعة السينية ، الكثافة الضوئية ، الأفلام الإشعاعية ، المرشحات
رابط:	<a href="http://search.mandumah.com/Record/557923">http://search.mandumah.com/Record/557923</a>

Republic of Iraq  
Ministry of Higher Education  
And scientific Research  
University of Baghdad  
College of Education / Ibn – Al Haithem



# The Characteristics of X- ray Film used in Diagnostic Radiology and The Quality Control for some –x ray machines

**Atheists**  
**Submitted to the Council of the College of**  
**Education / Ibn – Al Haithem at the**  
**University of Baghdad**  
**In partial fulfillment of the requirements for the**  
**Degree of Master of Science in Physics**

**By**

**Abdelrahman Adam Ahmed Amer**

**Supervised By**

**Prof. Dr .ATHAB TAHIR Al.kinani , Prof. Dr .Dhia A.A.Twaij**

**Febr. 2005**



جمهورية العراق  
وزارة التعليم العالي و البحث العلمي  
جامعة بغداد - كلية التربية / ابن الهيثم

# خواص الأفلام الشعاعية المستخدمة في التشخيص الطبي و توكيد الجودة لبعض أجهزة الأشعة السينية

رسالة مقدمة إلى  
مجلس كلية التربية / ابن الهيثم بجامعة بغداد  
و هي جزء من متطلبات نيل درجة ماجستير في علوم الفيزياء

من قبل

عبد الرحمن آدم أحمد عامر

بasher اف

أ. د. ضياء عبد علي تويج

شباط

2005

أ. د . عذاب طاهر الكناني

محرم

١٤٢٦ هـ

## **الشكر والتقدير**

الحمد لله الذي وفقني لأعداد هذه الرسالة وبما أدمني من القوة والعزم والصبر خلال مدة البحث والصلوة والسلام على رسول الله(ص) وأصحابه أجمعين. الشكر والتقدير إلى استاذي الفاضلين د.عذاب طاهر الكناني ود.ضياء عبد علي تويج لأنقراهما موضوع البحث وما قدماه من العون والمساعدة والتوجيه طيلة مدة البحث متمنياً لهما دوام الصحة والموافقة .

والشكر إلى عمادة كلية التربية ابن الهيثم وبخاصة رئاسة قسم الفيزياء لما ابده لى من مساعدة وعون في خلال المسيرة الدراسية وجزيل الشكر للأستاذ. د.ماهر ناصر رئيس قسم الفيزياء السابق على ما قدمه لي من النصائح القيمة . والشكر إلى وزارة العلوم والتكنولوجيا (دائرة بحوث البيئة والمواد الخطرة) وجزيل الشكر لمنتسبي مختبر المواد الخطرة والوقاية من الأشعاع والشكر والتقدير إلى إدارة مدينة الطب ومستشفى الجراحات التخصصية (قسم الأشعة) ومعهد الأشعة .

والشكر أيضاً إلى العاملين بمكتبة الكلية والمكتبة المركزية وإلى إدارة الدراسات العليا وإلى جميع زملائي في الدراسات العليا وإلى كل من قدم لنا العون والمساعدة.

**الباحث**

## توصية الأستاذة المشرفين

نقر أن إعداد هذه الرسالة قد جرى تحت إشرافنا فى قسم الفيزياء- كلية التربية/ ابن الهيثم - جامعة بغداد وهى جزء من متطلبات نيل درجة ماجستير علوم فى الفيزياء

اسم المشرف : ضياء عبدالعلي توهج	اسم المشرف : عذاب طاهر الكناني
المرتبة العلمية : أستاذ	المرتبة العلمية : أستاذ
التوقيع: .....	التوقيع : .....
التاريخ : .....	التاريخ : .....

## توصية رئيس قسم الفيزياء

بناء على التوصية المقدمة من المشرفين (أ.د. عذاب طاهر الكناني وأ.د. ضياء عبدالعلي توهج) أحيل هذه الرسالة إلى لجنة المناقشة لبيان الرأى فيها .

الأسم : ضياء عبدالعلي توهج
المرتبة العلمية : أستاذ
التوقيع : .....
التاريخ: .....

## الأهدا

الى ..

\*روح والدى العزيز الذى علمنى الصبر والوفاء

\*الوالدة الحنونة التى سهرت للوالى من أجل تربيتنا

\*الزوجة الوفية التى تعلمت معى صعوبات الغربة

\*أبنائي ومستقبل عياقى - عامر - ميادة - أحمد

أهدى هذا الجهد المتواضع

الباحث

## المحتويات

الصفحة	الموضوع	الرقم
	الفصل الأول-الجزء الأول المقدمة	1
1	المقدمة	1-1
2	الأشعة السينية : ما هيّتها ومميزاتها .	2-1
4	أنبوب أشعة السينية ومكوناتها .	3-1
6	الدائرة الكهربائية لأنبوب الأشعة السينية .	1-3-1
8	بعض أنواع الأنابيب المنتجة للأشعة السينية .	4-1
8	أنبوب أشعة سينية مملوء بغاز تحت ضغط منخفض	1-4-1
9	أنبوب كولج الحديث لتوليد الأشعة السينية .	2-4-1
10	أنبوب البيتاترون .	3-4-1
10	أنتاج الأشعة السينية .	5-1
11	طيف الأشعة السينية .	6-1
13	تفاعل الأشعة السينية مع المادة .	7-1
13	ظاهرة الكهروضوئية .	1-7-1
15	ظاهرة كومبتون .	2-7-1
17	ظاهرة توليد الأزواج .	3-7-1
17	توهين الأشعة السينية .	8-1
19	التشخيص الطبي باستخدام الأشعة السينية .	9-1
20	الجزء الثاني - خواص أفلام الأشعة السينية .	
20	مكونات الفلم الأشعاعي .	10-1
22	أفلام الأشعة السينية .	11-1
23	أنواع الأفلام الأشعاعية .	12-1
23	المقدمة	1-12-1
23	أفلام التصوير الأشعاعي .	2-12-1
24	أفلام تصوير الثدي .	3-12-1
25	أفلام الحذف .	4-12-1
25	خواص أفلام التصوير الأشعاعي .	13-1

25	عوامل الفلم .	1-13-1
25	الكثافة الضوئية .	1-1-13-1
26	المنحنى المميز للفلم .	2-1-13-1
28	التبابين .	3-1-13-1
30	سرعة الفلم .	4-1-13-1
31	معالجة الفلم .	5-1-13-1
31	العوامل الهندسية .	2-13-1
32	التكبير .	1-2-13-1
33	التشوه .	2-2-13-1
34	شبه الظل(الضبابية ) .	3-2-13-1
34	مسافة البؤرة عن الفلم .	4-2-13-1
34	تماس الفلم مع شاشة التقوية .	5-2-13-1
35	سمك شاشة التقوية .	6-2-13-1
35	العوامل الجسمية .	3-13-1
35	سمك المريض .	1-3-13-1
35	حركة المريض .	2-3-13-1
36	العدد الذرى للنسيج .	3-3-13-1
36	كثافة النسيج	4-3-13-1
36	مقياس الوميض الحراري .	14-1
39	الدراسات السابقة .	15-1
42	الفصل الثانى - الأجهزة والمواد .	2
43	أجهزة الأشعة السينية .	1-2
45	أنواع الأفلام المستخدمة فى البحث .	2-2
46	مقياس الكثافة الضوئية .	3-2
48	مقياس متعدد الوظائف .	4-3
49	جهاز قياس أستقامة الحزمة وحجم البؤرة .	5-2
49	قياسات توكيد الجودة .	6-2
50	الاختبارات الميكانيكية .	7-2
50	الاختبارات الأشعاعية .	8-2

51	تعيين الفولتية بأسخدام مقياس متعدد الوظائف .	1-8-2
52	قياس زمن التعرض .	2- 8-2
53	قياس الجرعة الأشعاعية .	9-2
	الفصل - الثالث القياسات والنتائج والمناقشة	3
55	منحنى خواص الفلم .	1-3
59	قياس المدى .	2-3
59	قياس السرعة النسبية للفلم.	3-3
60	ميل المنحنى البياني .	4-3
62	معدل الأنحدار .	5-3
62	العلاقة بين سمك المرشح والكتافة الضوئية .	6-3
69	قياسات ضبط الجودة .	7-3
69	الاختبارات الأشعاعية .	1-7-3
69	أختبار أستقامة الحزمة الأشعاعية .	2-7-4
71	أختبار تطابق المجال الضوئي مع المجال الأشعاعي	3-7-3
73	أختبار حجم بؤرة الأشعاع .	4-7-4
76	أختبار خطية التعرض .	5-7-3
80	أختبار خطية الفولتية .	6-7-3
85	الأستنتاجات .	8-3
86	الدراسات المستقبلية	9-3
87	المصادر .	10-3

## قائمة الأشكال

الصفحة	الشكل	الرقم
4	رسم تخطيطي لأنبوب الأشعة السينية	1-1
6	الدائرة الكهربائية للمحولة	2-1
8	أنبوب أشعة سينية المملوء بالغاز	3-1
9	أنبوب أشعة سينية من نوع كولج الحديث	4-1
10	مسار الإلكترون في أنبوب البيتاترون	5-1
12	الطيف الخطي للأشعة السينية	6-1
14	الظاهرة الكهروضوئية	7-1
16	ظاهرة كومبتون	8-1
17	ظاهرة توليد الأزواج	9-1
19	رسم تخطيطي لتكوين صورة أشعاعية أساسية	10-1
20	مكونات الفلم الأشعاعي	10-1
27	منحنى خواص الفلم	11-1
44	صورة جهاز سيدكل ( Sedical )	1-2
44	صورة جهاز سيمنس ( Siemens )	2-2
45	صورة جهاز توشيبا ( Toshiba )	3-2
54	مقياس جهاز قياس الجرعة من نوع ( RMI )	4-2
55	المرشح الأسفيني باستخدام فلم أكما	1-3
56	خواص منحنى لفلم أكما	2-3
56	المرشح الأسفيني باستخدام فلم أكفا	3-3
57	خواص منحنى لفلم أكفا	4-3
57	المرشح الأسفيني باستخدام فلم كوداك	5-3
58	خواص منحنى لفلم كوداك	6-3
58	المنحنى البياني للأفلام الأشعاعية	7-3
61	العلاقة بين ميل المنحنى والكتافة الضوئية	8-3

64	العلاقة بين سمك المرشح و الكثافة الضوئية للفلم أكما	9-3
66	العلاقة بين سمك المرشح و الكثافة الضوئية للفلم أكفا	10-3
68	العلاقة بين سمك المرشح و الكثافة الضوئية للفلم كوداك	11-3
70	أستقامة الحزمة الأشعاعية الساقطة	12-3
72	تطابق المجال الضوئي مع المجال الأشعاعي	13-3
75	أختبار حجم بؤرة الأشعاع	14-3
77	العلاقة بين معدل التعرض والجرعة الأشعاعية التي تم قياسها بجهاز سيدكل	15-3
78	العلاقة بين معدل التعرض والجرعة الأشعاعية التي تم قياسها بجهاز سيمنس	16-3
79	العلاقة بين معدل التعرض والجرعة الأشعاعية التي تم قياسها بجهاز توшибا	17-4
81	العلاقة بين الفولتية والجرعة الأشعاعية التي تم قياسها بجهاز سيدكل	18-3
82	العلاقة بين الفولتية والجرعة الأشعاعية التي تم قياسها بجهاز سيمنس	19-3
83	العلاقة بين الفولتية والجرعة الأشعاعية التي تم قياسها بجهاز توшибا	20-3

## قائمة الجداول

الصفحة	الجدول	الرقم
40	الجرع ذات التأثير الوراثي حسب نوع الفحص والجنس	1-1
41	أختلاف مقدار الجرع الداخلة والخارجة لبعض الحالات المختلفة	2-1
43	خواص أجهزة الأشعة السينية	1-2
52	أنواع مولدات الأشعة السينية	2-2
55	العلاقة بين الكثافة الضوئية ومعدل التعرض للفلم أكما	1-3
56	العلاقة بين الكثافة الضوئية ومعدل التعرض للفلم أكفا	2-3
57	العلاقة بين الكثافة الضوئية ومعدل التعرض للفلم كوداك	3-3
59	خواص المنحنى للأفلام	4-3
60	السرعة النسبية للأفلام	5-3
61	العلاقة بين ميل المنحنى والكثافة الضوئية	6-3
62	معدل انحدار المنحنى للأفلام	7-3
63	العلاقة بين سمك المرشح والكثافة الضوئية للفلم أكما	8-3
65	العلاقة بين سمك المرشح و الكثافة الضوئية للفلم أكفا	9-3
67	العلاقة بين سمك المرشح و الكثافة الضوئية للفلم كوداك	10-3
77	العلاقة بين الجرعة الأشعاعية ومعدل التعرض التي تم قياسها بجهاز سيدكل	11-3
78	العلاقة بين الجرعة الأشعاعية ومعدل التعرض التي تم قياسها بجهاز سيمنس	12-3

79	العلاقة بين الجرعة الأشعاعية ومعدل التعرض التي تم قياسها بجهاز توشيبا	13-3
80	معامل الخطية للعلاقة	14-3
81	العلاقة بين الجرعة الأشعاعية والفولتية التي تم قياسها بجهاز سيدكل	15-3
82	العلاقة بين الجرعة الأشعاعية والفولتية التي تم قياسها بجهاز سيمنس	16-3
83	العلاقة بين الجرعة الأشعاعية والفولتية التي تم قياسها بجهاز توشيبا	17-3



## الخلاصة

تعد دراسة خواص الأفلام الأشعاعية من المواقع المهمة في التشخيص الطبى بإستخدام أجهزة الأشعة السينية . ولهذا الغرض تم اختبار ثلاثة أجهزة للأشعة السينية في مدينة الطب ببغداد من مناشئ وتواريخ تصنيع مختلفة وثلاثة أنواع من الأفلام المستخدمة في التشخيص الطبى لغرض معرفة خواص تلك الأفلام تم تصنيع مرشح أسفيينى من الألمنيوم بسمك يتراوح بين 0 — 6 سم لغرض قياس الكثافة الضوئية لمدى يتراوح بين 0.1—4 حيث تم التصنيع أستناداً إلى معادلة التوهين الكلى :

$$\begin{aligned} I &= I_0 e^{-\mu x} \\ \ln I_0/I &= \mu x \\ x &= \frac{\ln I_0/I}{\mu} \\ x &= \frac{2.3 \log I_0/I}{\mu} \end{aligned}$$

حيث وجد أن درجة الأسوداد المكونة على الفلم والتى تم قياسها بوساطة مقياس الكثافة (الكثافة الضوئية) ( $\log I_0/I$ ) تتراوح بين 0.25 — 4 ومعامل التوهين الكلى للألمنيوم معلوم . منها وجد السمك اللازم للحصول على مثل هذا المدى من الكثافة الضوئية .

تم تعریض الأفلام الثلاثة للأشعة السينية بعد مرورها على المرشح وحسبت الكثافة الضوئية وبعد غسل الأفلام باستخدام مقياس الكثافة(Densitometer) وتم رسم منحنى الخواص لهذه الأفلام ووجد أن المنحنى يتكون من ثلاث مناطق وهى الذيل والجزء المستقيم والكتف فى كل من هذه الخطوط البيانية . ومن المنحنى تم إيجاد التباين والمدى والسرعة للأفلام الثلاثة ووجد أن درجة تباين الأفلام من شركات أكما وأكفا وكوداك تزداد على الترتيب : ومن المنحنى أيضاً وجد أن المدى يتاسب عكسياً مع السرعة أما المدى والتباین فأنهما يتناسبان طردياً.

كذلك تمت دراسة العلاقة بين سمك المرشح والكتافة الضوئية بثبوت كل من الفولتينية والتعرض ووجد بأن الكثافة الضوئية تزداد بنقصان سمك المرشح .  
وتم قياس اختبارات توکید الجودة لأجهزة الأشعة السينية الثلاث وهذه الخواص تعطي تقييم عمل هذه الأجهزة بشكل دقيق . والاختبارات التي تم أنجازها هي :

- ١- اختبار الأستقامة للحزمة الأشعاعية ووجد أن الأجهزة ذات المنشأ الأسباني والألماني تبعث حزمة من الأشعة السينية ذات أستقامة جيدة أما جهاز توشيبا الياباني فإن الأستقامة للحزمة الأشعاعية غير جيدة .
- ٢- اختبار تطابق المجال الضوئي مع المجال الأشعاعي : في جميع أجهزة الأشعة السينية حيث توجد مساحة محددة مضاءة يوضع عليها الجزء المراد تصويره من الجسم ويجب أن يتطابق هذا المجال مع المجال الأشعاعي ووجد أن التطابق جيد للأجهزة الأسبانية والألمانية وغير جيد بالنسبة للجهاز الياباني حيث نسبة الأنحراف بين المجال الضوئي والأشعاعي أكثر من 2% .
- ٣- اختبار حجم البؤرة للحزمة الأشعاعية بإستخدام القرص النجمي ووجد أن الجهازين الأسباني والألماني ذوات البؤرة ضمن الحدود الجيدة للأبعاد .  
أما الجهاز الياباني فإن الحجم لا يقع ضمن الأبعاد لذلك فإن الصورة تحتاج إلى تعرض أطول للحصول على صورة ذات نوعية جيدة .
- ٤- اختبار خطية التعرض mAs والفولتينية كدالة للجرعة الأشعاعية ووجد أن العلاقة بين الجرعة الأشعاعية والتعرض الأشعاعي هي علاقة خطية للجهازين سيدكل وسيمنس حيث لا يتجاوز معامل الخطية 1% بينما هذه الخطية تتعدى هذه النسبة بالنسبة لجهاز توشيبا وقد وجدت نفس الملاحظة بالنسبة للفولتينية كدالة للجرعة .

## **Abstract**

The study of the characteristic of x-ray films is one of the great important projects in medical diagnosis. For this purpose three types of instruments with different origin and fabricate date three types of radiographic films were selected for this study from Medical City in Baghdad.

An aluminum wedge form filter with (0---6cm) thickness was made to measure the optical density at a range between (0.1—4) by using and modifying the attenuation equation:

$$I = I_0 e^{-\mu x}$$

$$\ln I_0/I = \mu x$$

$$\text{Therefore } x = \frac{2.3 \log I_0/I}{\mu}$$

For each value of the optical density, by knowing the total attenuation coefficient of (Al). we determine the required thickness of the foil . The three types of radiographic films were exposed to x-ray after had been passed through the filter. The characteristic curve was obtained by plotting the log- of average exposure as a function of optical density. It is found that -the curve has three different regions: the toe ,the straight part and the shoulder.

The contrast, range, and the speed of each of the three films were estimated from the curve. It was found that the contrast was increased for the films (Acma, Acfa and Kodak) respectively. It was also found that the speed of the film is directly proportional to the contrast.

The relationship between the thickness of filter and optical density was also studied under fixed voltage. It was found that the optical density is increased whenever the thickness was reduced

Tests of Quality control (QC) for three x-ray instruments were done to evaluate their accuracy. These tests were as follows:

1. Beam alignment test: in this test it was found that instruments of sedical and siemens have good linearity because of the semen try of cylindrical. while the Toshiba had bad alignments
2. Optical and radiation field congruence test: in this test it was found good congruence for the sedical and siemens was found because the congruence is better than 2% for but it was not good for the Toshiba instrument
3. Focal spot size test: in this test it was found that both instruments (sedical, siemens) have good focal spot size within the limits, while that for the Toshiba instrument was not within limits.

4. Exposure (mAs) and voltage (kVp) linearity test: The relationship between the radiation dose and exposure is found to be linear, i.e. the linearity coefficient did not exceed (0.0 1) for the sedical and siemens instruments while it was more for Toshiba (0.4). Similar observations were found for the relationship between radiation dose and voltage.

## الفصل الأول

### الجزء الأول - المقدمة

#### ١- المقدمة

في عام 1895 شاهد العالم الامريكي كود سيد عن طريق الصدفة ظهور صورة قطعية نقود على صفيحة فوتوغرافية موجودة بجانب انبوب كروكوس ولكنه لم يتعرف عليها ولم يتبعها .

وفي نفس عام أثناء اجراء تجاربه على السلوك الالكتروني حصل على تفريغ كهربائي داخل انبوب مفرغ جزئياً من الهواء، وعند تسلیط فولتية عالية بين طرفي الانبوب لاحظ روتجن ظهور ضوء باهت نتيجة لتأين جزيئات الهواء بوساطة الالكترونات السريعة. وعند تسلیط فولتية داخل مختبر مظلم لاحظ ضوء باهت على قطعة ورق صغيرة مغطاه بسيانيد البوتاسيوم موجودة بالقرب من الانبوب. ان سبب الضوء الباهت يعود الى فلورة سيانيد البوتاسيوم ولا يعود الى الالكترونات المنبعثة من الكاثود لانها لا تخترق الزجاج ولا من عملية التفريغ الكهربائي لان الانبوبة مغطاة بقطعة سميكة من الورق الاسود [١] .

استنتاج العالم الالماني روتجن ان أشعة غير معروفة تولدت نتيجة لتسلیط جهد عالي بين الكاثود والانود والتي لها قابلية على اختراق الزجاج وفلورة بعض المواد ، وسميت بالأشعة السينية (x ray) . وعندما وضع في طريق هذه الاشعة عدة مواد بالتناوب لاحظ ان شدة الفلورة تختلف بأختلاف نوع المادة وكانت الدهشة الكبيرة عندما لاحظ صورة عظام كف زوجته على ورقة مغطاة بمادة متفلورة في عام 1895 والتي تعد بداية التشخيص بالأشعة السينية [٢]. أستخدمت الاشعة السينية في التشخيص منذ ذلك الوقت وتطورت بسرعة هائلة حيث أستطاع كوليرج في عام 1913 من تصميم انبوب يبعث الاشعة السينية والذي يتكون من فتيل من التنكستن له القدرة على بعث الالكترونات عند التسخين.

في عام 1917 تمكن كل من الالماني يوكى والامريكي بوتر من صناعة المصفاة التي تعمل على زيادة التباين في الصورة نتيجة لنقليل الاشعة المنشطة في جسم المريض [1].

في عام 1920 تمكن بووزر في شركة فيلبس الهولندية من تصميم الانود الدوار بدلاً من الانود الثابت .

في عام 1948 أستطاع العالم كوتمان من تصميم انبوب يولد صورة أكثروضوحا وبإمكانية عرض الصورة تلفزيونياً وتخزينها. وبهذه التقنية امكن تصوير القلب والشرايين والجهاز الهضمي.

في عام 1968 أستطاع العالم هاتشفيلد في بريطانيا من أستخدام التصوير الطبقي (tomography) حيث اخذت أول صورة للدماغ بأسخدام هذه التقنية في عام 1971 بلندن .

في عام 1977 أستخدم التصوير الرقمي بالأشعة السينية (الطبقي المحوسبي CT) حيث أستعمل الحاسوب للتسجيل والمعالجة والعرض وطورت هذه التقنية الى ما يسمى بالتصوير الطبقي المحوسبي الدوار (المفراس). وتم تصوير الشرايين لأول مرة وذلك بحقيقة لزيادة التباين في الوريد أو الشرايين ولكن هذه الصورة تحتوي على خلفية صورة العظام التي تغطي صورة الشرايين لذلك يقوم الحاسوب بحذف صورة العظام وأظهار صورة الشرايين وحركة الصبغة داخلها بشكل واضح [2] .

وتشتمل الان تقنيات جديدة للاشعة السينية التشخيصية بأعتماد الصور الرقمية وعرضها وتخزينها وأعادة الصورة الشعاعية مع تطوير وسائل أرشفة الاتصالات بالصور وطريقة أستخدام الاشعة السينية عن بعد وبشكل موسع [3]

## 2-1 الاشعة السينية: ماهيتها ومميزاتها

الأشعة السينية عبارة عن أشعة كهرومغناطيسية ؛ كالضوء وال WAVES الموجات الراديوية ولكن هذه الموجات تختلف عن بعضها البعض بالطول الموجي وهو الذي يحدد قدرتها على اختراق وتأثين الذرات .

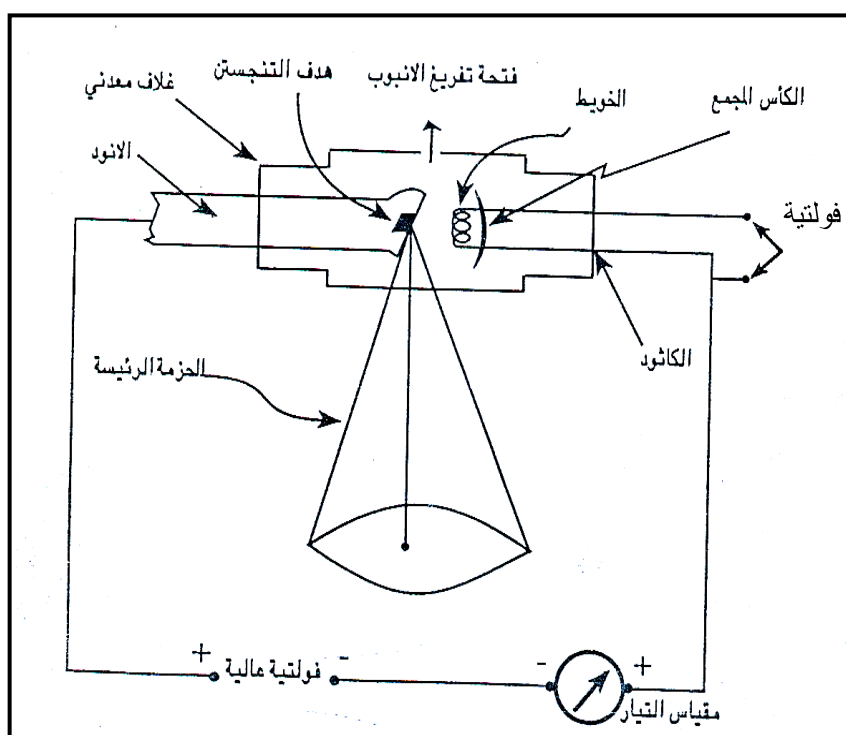
إن الأشعة السينية تختلف عن أشعة جاما تكون أصل الأشعة السينية ناتج عن انتقال الألكترونات بين مستويات الطاقة المختلفة للمدارات المحيطة بالنواة . وتسمى بالأشعة المميزة (Characteristic Radiation) أو نتيجة للتوقف المفاجئ للألكترونات السريعة عند اصطدامها بمادة الهدف داخل أنبوب الأشعة السينية وتسمى بأشعة الكبح (Bremstrahlung Radiation) ؛ بينما أصل أشعة جاما ناتج من انتقال مكونات النواة من مستويات عالية إلى مستويات أوطأ داخل النواة . كما أن الأشعة السينية تمتلك عادة مدى واسع من الطيف أو الطاقات المستمرة أبتداءً من قيمة قصوى للطاقة فما دون ؛ بينما أشعة جاما تمتلك قيم محددة من الطاقة .

تمتاز الأشعة السينية بالخصائص الآتية :

١. تخترق الأشعة السينية المواد بنسب متفاوتة وتضعف عند مرورها خلال صفيحة من الألمنيوم ذات سماكة (15mm) إلى حد كبير ولكنها لا يمكن ان تمحو تأثيرها كليا ويمكن مشاهدة فلورة الشاشة اثناء مرور حزمة الاشعة خلالها. ان هذه الاشعة تضعف كثيراً في الزجاج الرصاصي . ولكنها يمكن ان تخترق الانواع الامر من الزجاج التي لها نفس السمك بسهولة .
٢. قدرتها على تأمين ذرات الغازات التي تمر من خلالها - حيث يمكن استخدام هذه الظاهرة في الكواشف وقياس كمية الأشعة السينية المارة خلال المادة ومعرفة التعرض الأشعاعي .
٣. تؤثر على الشاشة المطلية بسيانيد الباريوم البلاتيني ومواد اخرى مثل الملح الحجري واملاح الكالسيوم والزجاج والبيورانيوم وتؤدي إلى فلورتها.
٤. تؤثر على الالواح الفوتوغرافية والافلام السريعة ولذا يعد التصوير الأشعاعي وسيلة مهمة لدراسة خواص وتأثير هذه الاشعة.

### **X-Ray Tube و مكوناته**

يتكون أنبوب الأشعة السينية من غلاف زجاجي أو معدني مفرغ من الهواء تحت ضغط واطئ كما في الشكل (1-1) وأهم أجزاء أنبوب الأشعة السينية ::



الشكل {1-1} رسم تخطيطي لأنبوب الأشعة السينية [4].

### ١- الكاثود :-

هو عبارة عن سلك من التتكستان بشكل ملف يسمى بالخواص (filament) موضوع داخل تجويف يسمى بالكأس المجمع . إن وظيفة هذا الوعاء هو تركيز وتسييد حزمة الالكترونات الخارجة من الكاثود نحو الأنود (الهدف) . إن طول وقطر الخواص وشكل الكأس (الوعاء) وخصائصه هي من العوامل المؤثرة على شكل وحجم تلك المنطقة من الأنود التي تصطدم بها تلك الالكترونات . كما أن درجة حرارة الخواص تحكم بكمية الالكترونات المنبعثة منه. حيث يزداد عدد الالكترونات المنبعثة بزيادة درجة حرارة التتكستان وبالتالي يزداد تيار الالكترونات الذي يكون متغيراً ويقياس بالمilli أمبير (mA) خلال الانبوب [2,1] .

### ٢- الأنود:

يصنع من النحاس الذي يمتلك توصيلية حرارية عالية وتدفن داخله صفيحة من التتكستان أو المولبدينيوم تسمى بالهدف الذي يكون مواجهًا للكاثود . يعود سبب استخدام التتكستان كمادة الهدف إلى :-

- i. عدده الذري العالي (74) مما يزيد من كفاءة إنتاج الأشعة السينية .
- ii. درجة أنصهاره عالية ( $3400^{\circ}\text{S}$ ) لذلك تمكنه من مقاومة درجات الحرارة العالية الناتجة من قذف الإلكترونات، لأن 99% من طاقة الإلكترونات تتحول إلى حرارة.

تنتج الأشعة السينية من المساحة الصغيرة من الهدف التي تصطدم بها الإلكترونات المنبعثة من الكاثود والتي تسمى بالبقة البؤرية وأن مساحة البقة البؤرية تؤدي دوراً مهماً في تكوين الصورة الشعاعية فكلما صغر حجمها كانت الصورة أكثر حدة.

ولمعالجة هذه المشكلة تم استخدام مبدأ التبور الخطي (line-focus- principle) حيث يميل الهدف بزاوية معينة ما بين (15–20°) . ويتم تبريد الانود بامرار الزيت أو الماء خلاله.

تنقسم أنابيب الأشعة السينية إلى نوعين تبعاً لنوع الانود المستخدم وهمما  
أنابيب الانود الثابت والمتحرك .

الانود الثابت لا يصمد للحرارة العالية ولذلك تم اختيار الانود الدوار (المتحرك) من قبل شركة فيلبيس في عام 1930 وهذا الانود يتحمل درجات حرارة عالية وذلك لتوزيع الحرارة على مساحة كبيرة من الانود [5,3,2]

### 3- الدائرة الكهربائية لانبوب الأشعة السينية:

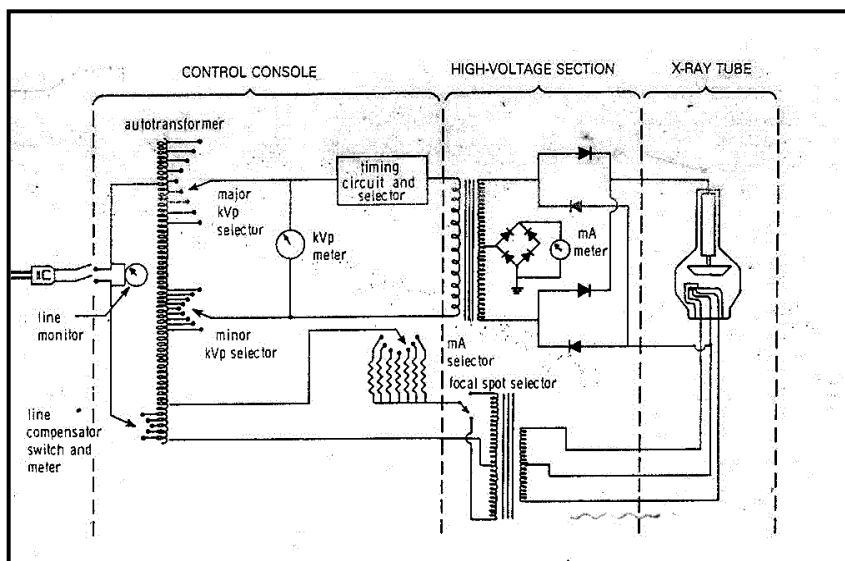
#### (Electrical Circuit of X-ray Tube)

الطاقة الكهربائية اللازمة لتشغيل انبوب الأشعة السينية تستخدم للأغراض  
الأئية:-

- بعث الإلكترونات من الكاثود إلى الانود.
- تعجيل الإلكترونات من الكاثود نحو الانود.
- تنظيم زمن التعرض [2] .

هذه المعلومات الثلاثة يمكن توضيحيها على لوحة سيطرة منظومة الاشعة السينية والتي تمكن المصور الشعاعي من الاختيار المناسب للفولتية ( $kVp$ ) والتيار  $mA$  و زمن التعرض  $s$ .

أما الاجهزه الكهربائيه التي تتنظم هذه المعلومات فهي المحولات (transformer) بنواعيها الخافضة للفولتية والرافعة للفولتية لتعجيل الالكترونات المعجلة. ومجموعة من المقومات (rectifiers) كما في الشكل (1-2) للحصول على تيار مستمر في جهاز السيطرة على الفتيل (filament control) للتحكم بعدد الالكترونات الخارجيه من الفتيل. بالإضافة الى التحصينات الوقائيه من الصعقات الكهربائيه فقد استخدمت اسلاك معزولة مخصصة لنقل الفولتيات العاليه.



الشكل (1-2) الدوائر الكهربائية للمحولة [1].

من اهم الدوائر الكهربائية للمحولة هي :

### -:Auto Transformer

يتكون المحول الذاتي من ملف ابتدائي ذي قلب حديدي مصنوع من صفائح حديدية معزولة ومكبوسة لتقليل التيارات الدوامة نتيجة للحث الذاتي في الملف الابتدائي تتكون فيه قوة دافعة كهربائية. وبأخذ أية نقطتين على طول الملف

الابتدائي نحصل على فولتية تعتمد على عدد اللافات بين النقطتين وعدد لفات الملف الابتدائي.

### 1-3-2 دائرة الفتيلة:

تقوم هذه الدائرة بتنظيم التيار المار خلال فتيلة أنبوب الأشعة السينية وتحتوي على محول خافض للفولتية حيث تخفض الفولتية إلى 10 فولت أو أقل في الملف الثاني ويجعل التيار المار ما بين (5-3mA) ملي أمبير ويكتفي هذا التيار لتسخين الكاثود وأنبعاث الإلكترونات حسب ظاهرة الانبعاث الآيوني الحراري ويربط الملف الابتدائي لهذه المحولة بعدد من ملفات المحول الذاتي .

تمثل كمية الإلكترونات المنبعثة من الكاثود تيار الانبوب ويجب التحكم في تيار الفتيلة لأن أي تغير في درجة الحرارة بشكل كبير يؤدي إلى تغيير في تيار الانبوب. وللتحكم في هذا التيار تستخدم مقاومة متغيرة تربط مع الملف الابتدائي او يستخدم مثبت الفولتية [3,1]

### 1-3-3-1 مجهز الجهد العالي بين الكاثود والأنود:

يزداد الجهد العالي باستخدام محول رافع للفولتية وتوخذ عدة نقاط من الملف الرئيسي للمحول الذاتي للحصول على فولتية عالية مختلفة التدرج ( من 40—150 ) كيلوفولت .

قياس الفولتية العالية بوساطة الفولتميتر يحتاج إلى عزل جيد عند ربطه بين طرفي الفولتية. ولذا يفضل ربط الفولتية بين طرفي الملف الابتدائي للمحولة الرافعة لأن الفولتية المغذية لهذا الملف قليلة لا تحتاج إلى عزل ولا توجد خطورة من الصدمة الكهربائية. أما جهاز قياس تيار الانبوب فيربط بمنتصف الملف الثاني للمحولة الرافعة لأن الفولتية عند هذه النقطة تساوي صفرأ ولذا لا توجد خطورة للصعقة الكهربائية في هذا القياس [3,2,1] .